

치근부 상아질 투명층의 증령적 변화에 관한 연구

연세대학교 대학원 치의학과

석대현 · 김종열

-목 차-

- I. 서 론
- II. 연구재료 및 방법
- III. 연구성적
- IV. 총괄 및 고찰
- V. 결 론
- VI. 참고문헌
- 영문초록

I. 서 론

신원불명한 시체에서 개인식별을 위한 연령추정은 법의학 및 법치학 분야에서 매우 중요한 과제중의 하나임은 주지의 사실이며 특히 치아와 연령간에는 밀접한 관계가 있음이 규명되어, 치과학적으로 연령을 추정하려는 연구가 꾸준히 계속되어 왔다. 법치학적 연령추정 방법중 성인에 있어서는 생리적 증령적변화로서의 치아의 소모^{21, 26, 27, 28}를 비롯하여 치수강의 협착,^{22, 24, 30, 31, 32, 33} 치근마의 변화,¹³ 치아의 비중,⁹ 색,¹⁰ 경도,¹⁴ 치아의 분광투과성과 발광강도,⁵ 치근부 투명층²³ 기타 물리적 성질의 변화²⁵와 악풀에 있어 이공의 위치⁷ 하악각의 변화, 구개봉합의 유함, 소실¹⁰ 등 매우 다양하게 연구되어 왔으며 그 가운데에서도 비교적 고령층에 대한 연령추정은 난점이 많으나 치아의 노년기 변화의 하나인 투명층의 형성이 Gustafson,⁵ Nalbandian¹⁰ 등 Pilz Bradford²¹ Bang¹ 등에 의하여 연구대상으로 의의가 큰 것으로 밝혀져왔다.

Gustafson은 치아의 가령적변화를 치아의 교모, 제2상아질의 침가량, 치조골의 흡수, 백아질의 침가량, 치근의 재흡수 및 상아질 투명층의 양을 관찰점으로 하고 각각 4단계로 점수를 부여한 다음 총계하면 증령적으로 일정한 비율로 증가함을 산출한 바²⁰ 그의 지수 산출에 치근부 상아질의 증령적 변화를 도입하여 널리 응용되고 있다. 그밖에도 Miles⁹는 투명도 윤곽의 불규칙성에 따른 측정방법에 관하여 언급한 바 있으며 실제측정에 있어 118개의 절치 횡단절면표본에서 연령과 투명도와의 높은 상

관관계가 있음을 보고한 바 있고 Bang¹¹도 치근부·투명층의 연령판정에 관한 연구에서 치근부 투명상아질의 길이를 측정하여 관찰하고 연령에 따라 치근투명도가 현저히 증가함을 재확인하였다. 그러나 아직 국내에서는 한국인의 치아를 대상으로 한 투명층과 연령과의 관계에 관한 연구가 별로 없고 감정 실무에서는 외국인의 자료에 의존하고 있는 실정에 머물고 있다. 이에 저자는 치근부 상아질 투명층의 증령적변화에 관한 연구를 시도하고 다소의 소견을 정리하여 다음에 보고 하는 바이다.

II. 연구재료 및 방법

가. 연구재료

본연구에 사용된 재료는 연세대학교 치과대학 부속병원 및 개인 치과의원에서 수집된 치아로 상하악 충절치, 축절치, 전치, 제1소구치, 제2소구치의 10종의 치아 173개를 대상으로 하였다. 대상치아는 관찰치료를 받지 않은, 유판적으로 볼 때 치근부에 특별한 영향을 받지 않은 비교적 건전한 치아를 대상으로 하였으며 수집된 치아는 10대에서 80대로서 각 치아를 10세 단위의 연령군으로 분류하였다. 수집된 치아의 연령구성을 다음 표 1과 같다.

(표 1) 연령구성

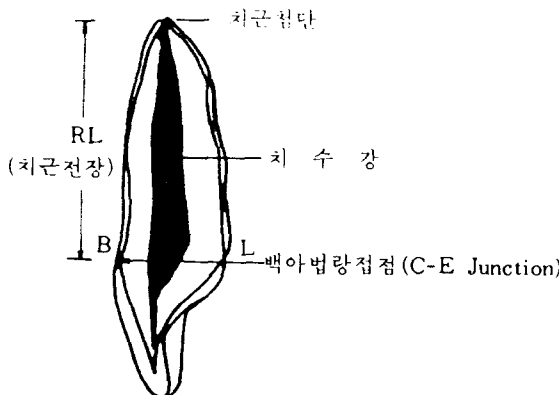
연 령	남 자	여 자	계
10대	2	6	8
20대	6	6	12
30대	15	18	33
40대	5	6	11
50대	27	21	48
60대	17	35	52
70대	3	4	7
80대	2	0	2
계	77	96	173

나) 연구방법

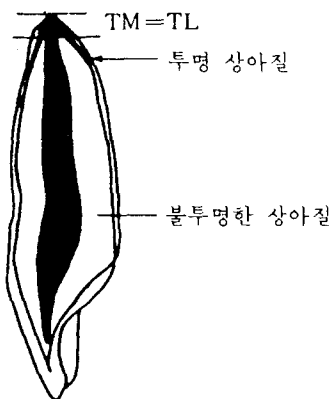
측정방법은 연구대상 치아를 우선 치아표면으로부터 연조직을 제거하였고 10% 포루마린 용액에 고정하였다. 고정된 치아를 LOW Speed로 Disk를 이용하여 치근의 중앙선에서 순설측(labio-lingual)으로 2등분하였다. 이때 가급적 열의 발생을 막기 위하여 생리식염수를 뿌려주었다. 2등분된 치아를 치근의 중앙선에서 400 μ 의 두께로 Sand paper를 사용하여 연마표본을 제작하였다. 이때도 열의 발생을 막기 위하여 Saline을 뿌려주면서 연마를 하였다. 제작된 연마표본을 View Box상에서 치근부상아질 투명도의 길이와 면적을 측정하였다. 이때 Caliper를 사용하여 투명층의 길이를 측정하였으며 치근첨단에서부터 치관부 방향으로 투명한 상아질과 불투명한(opaque)한 상아질 사이의 경계선까지 계측하고 이때 이경계선이 비교적 수평선상으로 나타나지 않는 경우에 투명도의 최소(TL_1)와 최대(TL_2)의 길이를 측정하여 평균치(TM)을 투명층의 길이로 하였다. 비교적 수평선상으로 나타날 때 주 TL_1 , TL_2 일때 투명도의 길이를 TL_1 으로 하였다(제 2 도 참조). 투명층의 면적은 Otto-Compensating polar planimeter(제조회사: 日本国(株)金剛測量機器製造)로 면적을 측정하고 오차를 줄이기 위하여 3회 측정하여 산출평균을 산출하였다. 그 후 투명층의 길이 면적 연령 성별 등을 변수로 하여 통계처리하였다.

제 1 도 측정 부위

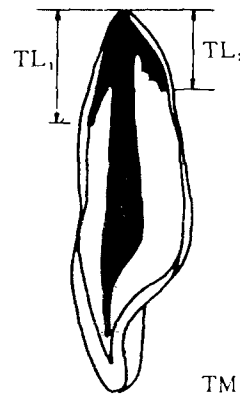
(치근의 길이 측정)



(치근부상아질 투명도 길이의 측정)



i) 치근의 변연부에만 현저한 투명상아질이 존재할 경우



$$TM = \frac{TL_1 + TL_2}{2}$$

ii) 투명대가 불규칙하게 분포된 경우

III. 연구성적

가) 연구에 사용된 전체치아에 대한 상관관계: 투명층의 길이 면적과 연령에 대한 상관계수는 다음과 같다.

1. 연구에 사용된 전체치아에 대한 상관관계를 계산하고 통계적으로 처리하여보니 다음 표 2에 보이는 바와 같다.

(표2)

	투명총길이	면적
연령파의상관계수	0.56	0.68
P Value	0.0001	0.0001

나) 치아별 연령에 대한 투명총 길이와 면적의 상관관계를 보면 다음 표 3과 같다.

즉 연령에 대한 투명총의 길이, 면적의 상관계수가 비교적 높게 나왔으며 투명총의 면적 0.68이 길이 0.56보다 상관관계가 더 높은 것으로 나타났다.

(표3) 치아별 연령에 대한 투명총 길이와 면적간의 상관관계

부위	투명총의 길이		투명총의 면적		Sample size
	상관계수	P Value	상관계수	P Value	
상악중절치	0.60	0.005	0.72	0.0001	30
하악중절치	0.73	0.016	0.67	0.03	10
상악측절치	-0.53	0.17	0.07	0.87	8
하악측절치	0.42	0.29	0.69	0.06	8
상악견치	0.27	0.28	0.35	0.15	18
하악견치	0.46	0.36	0.54	0.27	6
상악제1소구치	0.84	0.08	0.38	0.53	5
하악제1소구치	-0.17	0.74	-0.005	0.91	16
상악제2소구치	0.56	0.04	0.69	0.006	4
					T=105

위의 표 3에서 보면 상관관계가 상악중절치에서 가장 높고 하악중절치 상악제2소구치에서 연령에 대한 투명총의 길이와 면적의 상관관계가 높은 것으로 나타났다.

다) 상악중절치에서 연령증가에 따른 치근투명도 길이 및 면적을 계측한 결과 다음 표 4와 같다.

(표4) 상악중절치 투명총의 연령별 계측치

연령	길이 (mm)	면적 (cm ²)
10 대	0	0
20 대	4.35	0.20
30 대	3.47	0.23
40 대	3.53	0.24
50 대	3.65	0.25
60 대	5.04	0.31

라) 상악중절치에서 얻은 성적을 투명총의 면적과 길이와의 관계를 각각 다음의 선형방정식으로 구하였다.

[길이]

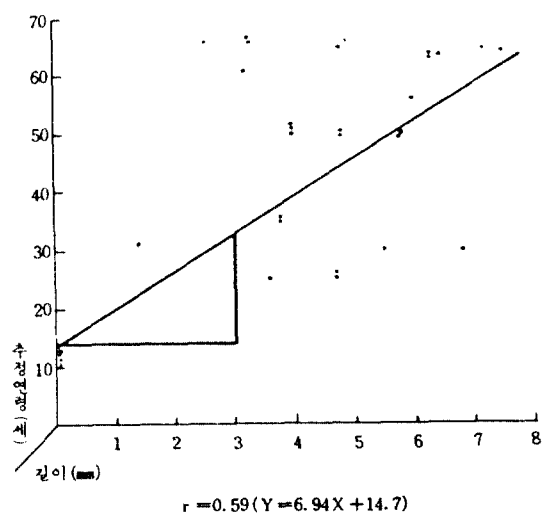
$$\text{상악중절치 } Y = 6.94X + 14.7$$

Y : 추정연령, X : 길이 (mm)
(r = 0.59)

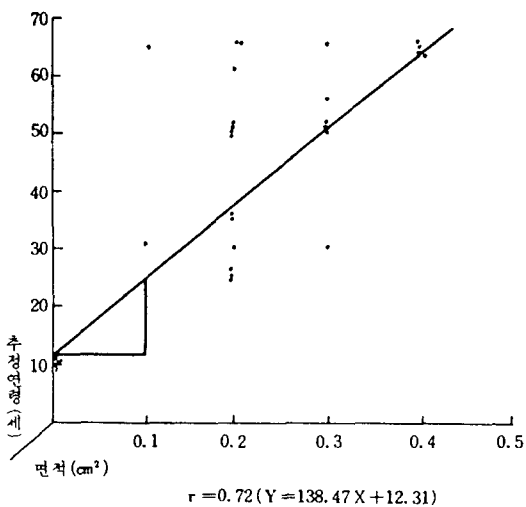
[면적]

$$\text{상악중절치 } Y = 138.47X + 12.31$$

연령 Y : 추정연령, X : 면적 (cm²)
(r = 0.72)



(제 2 도) 상악중절치 투명총의 길이와 연령과의 관계



〈제 3 도〉 상악중절치 투명층의 면적과 연령과의 관계

IV. 총괄 및 고찰

치근부 상아질 투명층의 증가는 경화증(sclerosis)에 기인하여 이는 주로 연령증가에 따라 증가하는 상아세판의 생리적 변화로써 많은 학자들에 의해 병리적 영향은 별로 크지 않은 것으로 밝혀져 왔다. 즉 Bang¹¹은 치근상아질 투명도의 변화가 연령에 따른 관내의 석회화의 증가에 따른 상아세판의 직경의 감소에 의하여 시작되며 세판내의 유기물질과 관외의 무기물질 사이의 굴절지수의 차이가 없어져 이영향을 받은 상아질의 투명도가 증가되는 것으로 설명하고 있다. Pilz¹²는 치근부 투명층의 범위 및 분포양상이 치수 및 치주위조직의 상태에 의하여 영향을 받음을 지적하였고 Bradford¹³은 위하여 투명도를 증가시키는 경화증이 치근단부 및 치근주위에 존재하는 미세판에서부터 기시황이 관찰된바 있다. 또한 Bradford¹³는 변연투명대(peripheral transparent zone)가 현저해질 때 특히 젊은이에게 있어서 경화증은 연령의 과대 평가를 할 수 있다고 하였다. 그러므로 이투명대와 무관하게 치근단으로부터 치근관과 치면 사이에 있는 중간점(midway point)까지 투명층의 길이를 측정하는 것이 바람직하다고 하였다.

Miles¹⁴는 투명층의 경계를 결정 평가함에 있어서 객관적 측정방법을 도입한 결과 중절치 치아에서 연령과 투명도 사이의 관계가 $r=0.73$ 이라는 높은

상관 관계를 가지고 있음을 알아내었다. 또한 Bang¹¹도 978개의 치근투명도 길이와 대상의 연령사이의 상관계수를 측정했을 때 연령에 따라 치근투명도가 의미있게 증가($P<0.01$)한다고 하였고 이어서 Bang¹¹은 상악우측 중절치의 투명도의 길이와 연령간에는 상관계수 0.83 상악좌측중절치의 투명도의 길이와 연령간에는 상관계수 0.82의 높은 상관관계가 있음을 발표한바 있다. 본연구에 있어서도 치근부 상아질 투명도의 면적과 연령에 대한 상관관계의 분석에서 상관계수 0.68 길이와 연령에 대한 상관계수 0.56($P=0.0001$)을 보여 비교적 높은 상관관계를 보이고 있으며 따라서 연령증가에 따라 치근부 상아질 투명도가 증가됨이 재확인 되었고 길이측정보다는 면적측정이 보다 오차가 적은 것을 알 수 있었다. 본 연구에서 치근투명도의 길이의 측정은 Miles에 의하여 지적된바와 같이 투명층의 경계부가 불규칙적이어서 객관적 측정점 설정에 주의하였으며 Miles¹⁴의 방법에 따라 계측한 저자의 성적에서 부위별 치아군에서의 투명층 길이와 연령의 상관관계는 상악 중절치에서 0.60으로 가장 높게 나타났으며 이는 Miles¹⁴의 성적에서 중절치가 $r=0.73$ 을 보이는 것과 일치되는 경향의 성적이라 하겠다. 다만 Miles¹⁴의 성적보다 저자의 성적이 다소 낮은 상관관계의 성적을 보인것은 대상 치아수 중절치30개의 중절치 118개의 차이에 기인한것이 아닌가 사료되어 대상치아를 증가시켜 연구 함으로써 보다 좋은 결과를 얻을 수 있지않은가 기대된다. 또한 본연구에서 길이보다 면적에 의한 성적이 상관관계가 높은것으로 나타난점을 고찰하여 볼때 투명층의 양의 계측의 정확성은 역시 투명층의 불규칙한 배열 분포상태로 인하여 길이에 의존하기보다는 전체를 나타내는 면적측정이 높은 것으로 보이며 본연구에 사용한 계측기 Compensating polar planimeter는 감정실무에 적용함에 있어 사용의 간편함과 정확성에 비추어보아 권리한것으로 평가할 수 있겠다. 본연구에서는 각연령별 치아수 확보가 미흡한 상태에서 어느 치아가 보다 감정에 적절한가를 단정적으로 판정하기는 곤란하나 앞으로 보다 많은 치아를 대상으로 할때 이문제가 해결될것으로 본다. 다만 본연구 성적으로만 보아서는 상악중절치가 우수한 성적을 보였으므로 이를 대상으로 임상적으로 적용할 수 있는 연령과 투명층과의 관계를 선형방정식으로 산출하고 길이에서 는 $Y=6.94X+14.7$ (Y : 추정연령, X : 길이 mm)

면적에서는 $Y = 138.47X + 12.31$ 을 얻었다 (Y : 추정연령, X : 면적 cm^2)

V. 결 론

저자는 성인치아에서의 연령추정을 목적으로 10대에서 80대까지의 상하악 좌우측 중절치에서 제2 소구치까지 발거된 173개의 치아를 10세단위의 연령별로 분류하고 이들의 투명층에 대하여 계측분석하고 다음의 결론을 얻었다.

1. 연령과 치근투명도간에는 높은 상관관계가 있음이 재확인되었다.

2. 치아별 증령에 대한 치근부 투명층의 길이와 면적의 변화의 상관관계에서 상악중절치가 가장 높고 하악중절치 상악제 2 소구치에서 높은것으로 나타났다.

3. 투명층의 증령에 대한 분석에서 면적의 측정이 길이의 측정보다 연령추정에 오차가 적었다.

4. 상악중절치에서 얻은 성적을 투명층의 면적과 길이와 연령과의 관계를 각각 다음의 선형방정식으로 구하였다.

$$Y = 6.94X + 14.7 \quad (r = 0.59)$$

(Y : 추정연령, X : 길이 mm)

$$Y = 138.47X + 12.31 \quad (r = 0.72)$$

(Y : 추정연령, X : 면적 cm^2)

참 고 문 헌

1. Bang, G, Ramm E; Determination of age in humans from root dentin transparency, *Acta odontol. Scand.*, 28 : 3~35, 1970.
2. Bradford E. W; The dentine, a barrier to Carries, *Brit. dent. J.*, 109 : 387~389, 1960.
3. Clinton, C. C; Transparent dentine in age estimation, *oral surgery*, 25 : 834~838, 1968.
4. Gustafson, G; Age determinations on teeth, *J. Amer. dent. Ass.*, 41 : 45~54, 1950.
5. Gustafson, G; Aldersbes tåmningar Pa tänder, *Odont. J.*, 55 : 556~568, 1947.
6. Gustafson, G; *Forensic odontology*. American Elsevier publishing Comp, Inc, New York., 1966.
7. Jones, J. F; New age Assessing method, *J. A. D. A.* 92 : 497, 1976.
8. Johanson, G; In Gustafson G: *Forensic odontology*, American Elsevier publishing Comp, Inc, New York P.139, 1966.
9. Miles, A. E. W; Dentition in the Estimation of Age, *J. dent. Res.* 42 : 255~263, 1963.
10. Nalbanlian, J, F; Gonzales & R. F. Sognnaes, Sclerotic Age changes in Root Dentin of Human teeth as observed by optical, Electron and X-Ray Microscopy. *J. dent. Res.* 39 : 598~607, 1960.
11. Pilz, W; Das Transparenzphänomen der Zahnwurzel als ein Ausdruck der Biomorphose des menschlichen Dentins, *Z. Alternsforsch.* 13 : 139~152, 1959.
12. Shaw, Sweeney, Cappuccino, and Meller; Developmental and Functional characteristics, *Textbook of oral biology*, 1134~1141, 1978.
13. 大山籍次郎: 年齢及び諸種全身疾患を基調とする歯周組織の状態, 口腔科學會雑誌 2 : 1~15 昭3. 10. 1~17, 昭4. 3.
14. 田口又一郎: 歯牙硬組織の Brinell硬度, 年齢的歯牙形的差異に就て, 日本歯科學會雑誌 28 : 459~466, 昭10. 7.
15. 枝松辰朗: 象牙質の硬さと發光強との年齢的差違に就て, 口腔病學會雑誌, 16 : 385~391, 昭17.
16. 上条雍彦: 九州日本人口蓋縫合の解剖學的研究, (その一), 臨床齒科學報, 4 : 26~9, 昭24. 8.
17. 上条雍彦: 九州日本人下顎骨孔の解剖學的並に人種解剖學的研究,
18. 芳賀忠夫, 安藤義昭 末高式, 佐久間五二三男: 歯牙色沢のカ齡的變化について, 歯報, 56 : 207~14, 1956.
19. 鹿野善孝: 歯牙比重の法醫學的研究, 日本法医学雑誌, 11 : 202~209, 昭32. 2.
20. 加藤一男: 歯牙の強度の年齢的変化について, 医学と生物学, 39 : 210~215, 1956.
21. 柄原博: 日本人歯牙の咬耗に関する研究, 能本医学會誌, 31補冊, 4 : 1~27, 1957.
22. 藤本敏雄: 歯髓腔のし線解剖学的研究,

1. 齒髓腔の加齢的変化, 歯科学報, 58 : 1 ~24
昭33. 5.
23. 高橋正行: 齒根部透明層の観察と実験的研究,
第2報 齒根部透明層の増齢的変化について,
日本口腔科学会雑誌, 8 : 466~473, 昭34. 10.
24. 田所幹彬: 齒牙の年齢的変化に関する研究, 齒
界展望, 16 : 83~100, 1959.
25. 加藤一男: 齒質の物理化学的性質,
口腔病学会雑誌, 29 : 56~69, 昭37. 6.
26. 古火種基, 山本勝一: 齒科法医学, 昭38. 5. 医
歯薬出版.
27. 竹井哲司: 齒の咬耗による年齢の推定,
日本法医誌, 24 : 1, 4 ~17, 1967.
28. 季鳴鐘: 한국인의 연령증가에 따른 치아교모도
에 대한 연구,
- 대한치과의사협회지, 10 : 445~50, 1972.
29. 김종열: 법치학적으로 본 연령감별, 대한치과의
사협회지 별책, Vol 14, No 12, 1976.
30. 金榮九: 연령에 따른 상악 전치 근관 폭경에
대한 X-선학적 연구,
대한구강외과학회지 2 : 14~9, 1976.
31. 金能世: 増齢에 따른 根管面積比에 관한 研究.
大韓齒科醫師協會誌, Vol 17. No. 2, Feb. 1979.
32. 김덕규, 김종열: 연령증가에 따른 치수강의 변
화에 의한 연령의 추정,
大韓齒科醫師協會誌, Vol. 19, No. 5, 1981.
33. 정의태: 치수강의 가령적 변화에 의한 연령추
정, 大韓口腔内科学会誌, Vol. 6, No. 1, Dec.
1981.

> ABSTRACT <

DETERMINATION OF AGE IN HUMANS FROM
ROOT DENTIN TRANSPARENCY

Dae-Hyun Suk D.D.S.

*Dept. of Dental Science, The Graduate School, Yonsei University
(Directed by Prof. Chong-Youl Kim D.D.S., M.S.D., Ph.D.)*

For the purpose of estimation of age based on changes in the human root dentin transparency, 173 extracted teeth in each part of upper & lower Lt. & Rt. central, lateral incisors to Lt. & Rt. 2nd premolars were evaluated and analized in terms of root dentin transparency. The results are as follows:

1. It was reconfirmed that there exists comparatively close correlatonship between age and the root dentin transparency.
2. It was proved that the correlation between the changes in the length and the area of the root dentin transparency in accordance with the ages of each tooth was highest at the upper central incisor, and next at the low central incisor and the upper second premolar respectively.
3. In the analysis of the age of the transparency, the error was less in the measurement of the area than in the measurement of the length in regard to the estimation of age.
4. The results from the test of the upper central incisor were boiled down to the following linear equation about the correlation among the area and the length of the transparency, and the age:

$$Y = 6.94X + 14.7 \quad (r=0.59)$$

(Y: estimated age, X: length mm)

$$Y = 138.47X + 12.31 \quad (r=0.72)$$

(Y: estimated age, X: area cm^2)